

# RNN

## Sieci rekurencyjne i modelowanie sekwencji

## Modelowanie sekwencji

Sieć jednokierunkowa realizuje odwzorowanie jeden do jednego

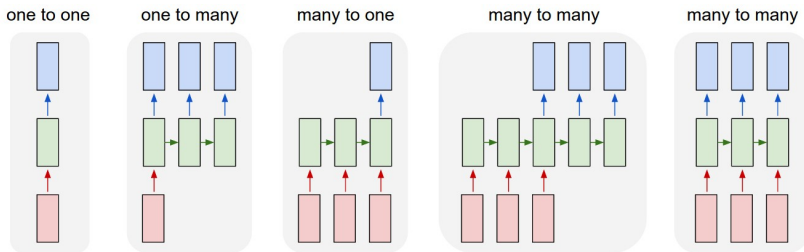
$$F(\mathbf{x}_i; \theta) = \mathbf{y}_i$$

Modelując szeregi czasowe chcemy uzyskać odpowiedź na podstawie sekwencji historycznych wartości

$$F(\mathbf{x}_0, \mathbf{x}_1, \dots, \mathbf{x}_t; \theta) = \mathbf{y}$$

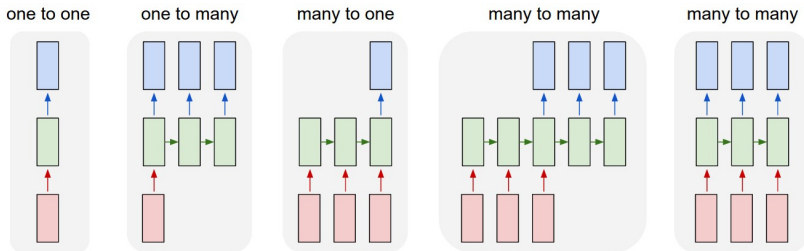
- Dane sekwencyjne lub zależne od czasu: sygnał audio, tekst, ruch obiektów, EEG, ...
- Modelowanie sekwencji: przewidywanie kolejnych wartości szeregu (np. przewidywanie pogody, notowań giełdowych), generowanie tekstu (chatboty), generowanie muzyki, sterowanie ruchem robota, ...
- Przetwarzanie sekwencji: maszynowe tłumaczenie, rozpoznawanie mowy, rozpoznawanie pisma, przetwarzanie strumieni wideo, ...
- Klasyfikacja sygnałów czasowych, etykietowanie obrazów, wykrywanie wzorców w Sieci Neuronowe sekwencjach

# Modelowanie sekwencji



- *one-to-one*: pojedynczy sygnał wejściowy produkuje pojedynczy sygnał wyjściowy, brak informacji o sekwencji
- *one-to-many*: pojedyncze wejście generuje sekwencję na wyjściu, np. opis obrazów
- *many-to-one*: sekwencja wejściowa produkuje pojedynczy sygnał wyjściowy, np. klasyfikacja tekstów

# Modelowanie sekwencji



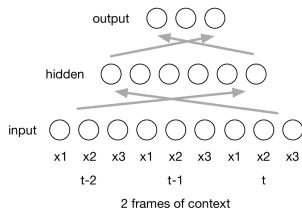
*many-to-many*: wejście i wyjście sekwencyjne

- bez dopasowania ramek, długość sekwencji wejściowej jest różna od długości sekwencji wyjściowej, np. tłumaczenie maszynowe, rozpoznawanie mowy
- z dopasowaniem ramek (*alignment*), np. etykietowanie ramek wideo, klasyfikacja fonemów w sygnale mowy (model akustyczny)

# Modelowanie sekwencji sieciami jednokierunkowymi

Sieci MLP: dodanie **stałego kontekstu** do wejścia,  
przykład: 2 ramki z lewej i prawej (poprzednie i przyszłe wektory wejściowe)

$$\hat{\mathbf{x}}^t \leftarrow [\mathbf{x}^{t-2}, \mathbf{x}^{t-1}, \mathbf{x}^t, \mathbf{x}^{t+1}, \mathbf{x}^{t+2}]$$

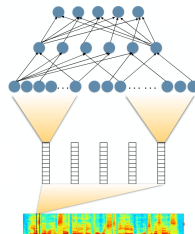


- zwiększenie wymiaru wejściowego istotnie zwiększa złożoność modelu, więc potrzebna jest większa liczba próbek uczących
- modelowanie tylko zależności krótkiego zasięgu (*short term memory*), ograniczonych wielkością okna kontekstu

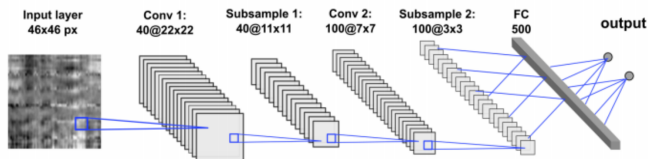


# Przykłady

Model akustyczny, rozpoznawanie fonemów z nagrań audio



Analiza sygnałów EEG, CNN + widma EEG

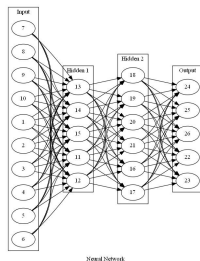


*Nurse, E., Mashford, B. S., Yepes, A. J., Kiral-Kornek, I., Harrer, S., & Freestone, D. R. (2016). Decoding EEG and LFP Signals using Deep Learning: Heading TrueNorth*

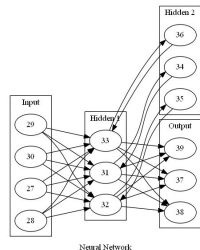
# RNN - Sieci rekurencyjne

- **Sieci jednokierunkowe** używają jedynie kontekstu o skończonej długości, nie są w stanie wykryć zależności w dłuższych okresach czasu (*long-term*)
- **Sieci rekurencyjne (RNN)** posiadają połączenia do wcześniejszych warstw, wyjście w chwili  $t$  zależy od stanu z czasu  $t - 1$  oraz z kroków poprzednich dzięki rekurencji

Sieć jednokierunkowa



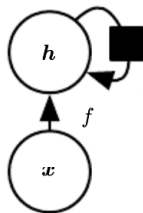
Sieć rekurencyjna Elmana





## Stan ukryty jednostek RNN

$$\mathbf{h}^t = f(\mathbf{h}^{t-1}, \mathbf{x}^t; \theta)$$

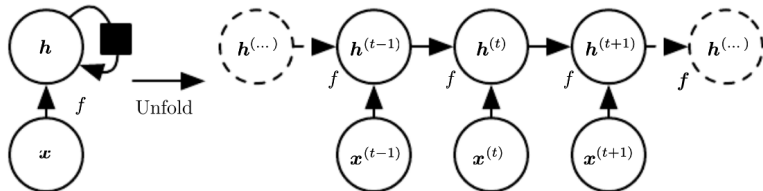


- neurony z połączeniami rekurencyjnymi działają jak pamięć, potencjalnie są w stanie modelować relacje występujące z dowolnie długim odstępem czasowym (nieskończony kontekst)

$$\mathbf{h}^t = g(\mathbf{x}^t, \mathbf{x}^{t-1}, \dots, \mathbf{x}^1)$$

- wektor  $\mathbf{h}^t$  (aktywacje neuronów warstwy rekurencyjnej) tworzy skompresowaną reprezentację sekwencji
- stan początkowy  $\mathbf{h}^0$  może być interpretowany jako dodatkowy sygnał wejściowy, typowo inicjowany wartością zero

## Rozwinięcie rekurencji w czasie

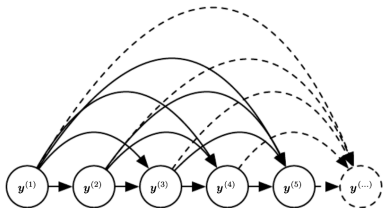


Rozwinięcie sieci RNN do postaci sieci jednokierunkowej, gdzie wagi połączeń są współdzielone.

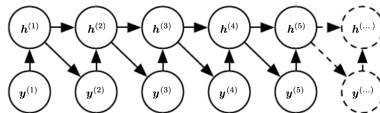
Głębokie uczenie w sieciach RNN: od pierwszego sygnału  $x^1$  do wyjścia  $h^t$  jest wiele warstw

# Efektywność kodowania

- Sieć RNN z rekurencją w warstwach ukrytych spełnia wymagania **uniwersalnej maszyny Turinga**
- Ilość parametrów opisujących stan  $\mathbf{h}$  ma wpływ na wielkość pamięci ale nie musi zależeć od długości sekwencji

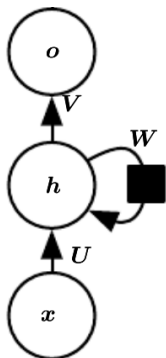


pełny model sekwencji, ilość parametrów  $O(k^T)$



RNN, stan obecny zależy pośrednio od stanów z przeszłości, ilość parametrów stała względem długości sekwencji  $O(1)$

## Sieć z jedną warstwą rekurencyjną



$$o_i^{(t)} = \text{softmax}_i \left( \sum_{r=1}^k v_{ir} h_r^{(t)} + b_i \right)$$

$$h_i^{(t)} = \sigma \left( \sum_{j=1}^d u_{ij} x_j^{(t)} + \sum_{r=1}^k w_{ir} h_r^{(t-1)} + c_i \right)$$

To samo zwięźlej w zapisie macierzowym

$$\mathbf{o}^{(t)} = \text{softmax} \left( \mathbf{V}\mathbf{h}^{(t)} + \mathbf{b} \right)$$

$$\mathbf{h}^{(t)} = \sigma \left( \mathbf{U}\mathbf{x}^{(t)} + \mathbf{W}\mathbf{h}^{(t-1)} + \mathbf{c} \right)$$

$\mathbf{x}^{(t)} \in \mathbb{R}^d$  sygnał wejściowy w chwili  $t$

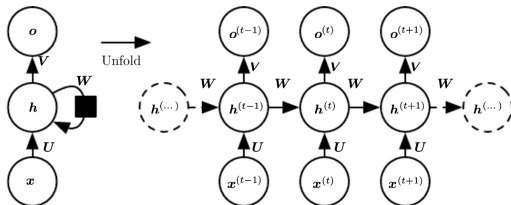
$\mathbf{U} \in \mathbb{R}^{d \times k}$ ,  $\mathbf{W} \in \mathbb{R}^{k \times k}$

$d$  ilość wejść sieci

$k$  ilość neuronów w warstwie ukrytej

# Wsteczna propagacja w czasie

Rozwinięta sieć odpowiada głębokiej sieci jednokierunkowej ze współdzielonymi wagami  $\mathbf{W}$ ,  $\mathbf{V}$ ,  $\mathbf{U}$

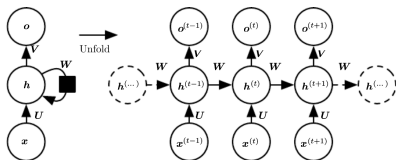


BPTT *backpropagation through time* - trening za pomocą wstecznej propagacji sieci „rozwiniętej w czasie”, odbywa się analogicznie jak w jednokierunkowych sieciach.

Aktualizacja wagi w chwili  $t$  wymaga:

- całej historii sygnałów przeszłych  $\mathbf{x}^1, \dots, \mathbf{x}^t$
- historii stanów neuronów  $\mathbf{h}^1, \dots, \mathbf{h}^t$  i ich pochodnych  $\mathbf{h}'^1, \dots, \mathbf{h}'^t$

# Wsteczna propagacja w czasie



Funkcja kosztu dla całej sekwencji (model *many-to-many*):

$$L \left( \{ \mathbf{x}^{(1)}, \mathbf{x}^{(2)}, \dots, \mathbf{x}^{(\tau)} \}, \{ \mathbf{y}^{(1)}, \mathbf{y}^{(2)}, \dots, \mathbf{y}^{(\tau)} \} \right) = \frac{1}{\tau} \sum_{t=1}^{\tau} L^{(t)}$$

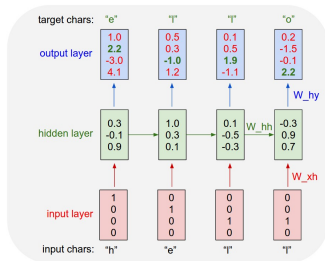
$L^{(t)}$  - koszt w kroku  $t$  (np. cross-entropy) zależny od  $\mathbf{x}^{(1)}, \dots, \mathbf{x}^{(t)}$

$$\partial_w L = \sum_{t=1}^{\tau} \partial_w L \left( y^{(t)}, o^{(t)} \right)$$

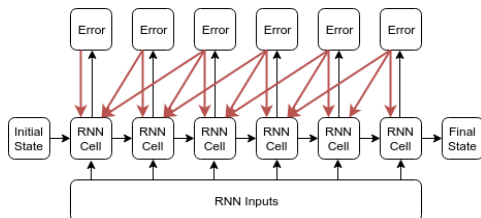
Aktualizacje wag są akumulowane dla sygnału błędu propagowanego w kolejnych krokach czasu

## Przykład: CharRNN

- model języka oparty na znakach, wejście i wyjście stanowi sekwencja znaków
- znaki kodowane z pomocą wektorów binarnych o długości równej ilości wszystkich znaków w alfabecie (kodowanie *one-hot*)
- problem klasyfikacji przewidywania kolejnego znaku w sekwencji  $f(x(t)) \rightarrow x(t+1)$
- wyjście softmax modeluje rozkład prawdopodobieństwa  $P(x_{t+1} | x_1, x_2, \dots, x_t)$



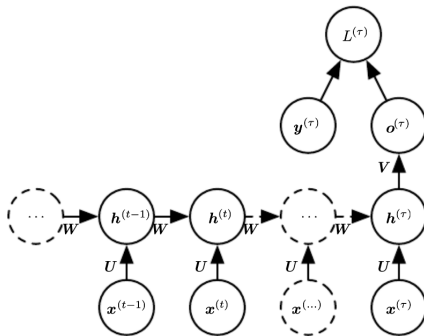
## Wsteczna propagacja w czasie



- Rozwinięta w czasie sieć tworzy głęboką sieć neuronową ze wszystkimi tego konsekwencjami (zanikający gradient dla relacji odległych w czasie, wybuchający gradient)
- Obliczenia dla długich sekwencji są kosztowne
- Nie zawsze potrzebujemy informacji z odległej przeszłości
- **Truncated BPTT** - ograniczenie długości sekwencji wstecznej propagacji do stałej wartości  $T$  (np.  $T = 20$ ). Gradient z dalszej przeszłości  $t - T - 1$  równy 0
- problem z wykrywaniem odległych relacji (*long-term*) przez obcięcie  $T$  oraz zanikający gradient

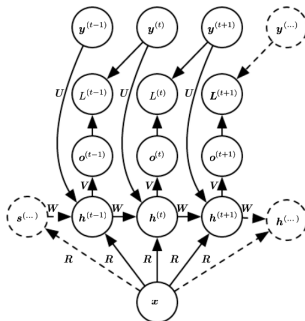


## Pojedyncze wyjście na końcu sekwencji



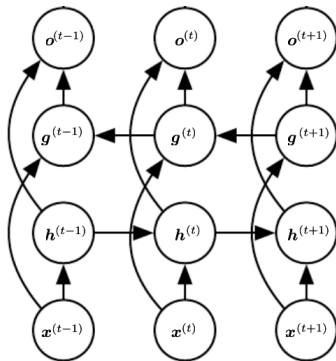
Sieć produkuje wyjście po obejrzeniu całej sekwencji,  
np. klasyfikacja wpisów w portalach społecznościowych  
(tzw. analiza sentymentów)

# Pojedyncze wejście generujące sekwencję



- Sieć produkuje sekwencję wyjść przy prezentacji stałego wzorca (np. etykietowanie zdjęć, opis sceny)
- Sygnał wejściowy  $x$  pełni rolę kontekstu
- Modelowanie sekwencji  $\mathbf{y}^t = f(\mathbf{y}^{t-1}; \mathbf{x})$

# Dwukierunkowa sieć RNN



**Sieci dwukierunkowe** RNN łączą warstwy z rekurencją zależną od sygnału przeszłego  $\mathbf{h}$  z rekurencją zależną od przyszłego sygnału  $\mathbf{g}$

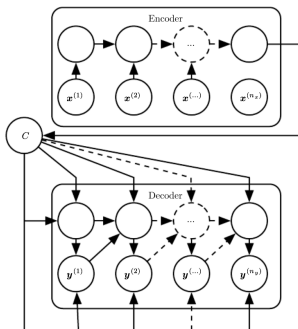
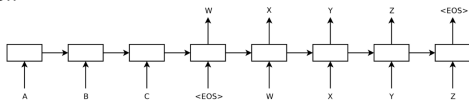
*Schuster, Mike, and Kuldip K. Paliwal. "Bidirectional recurrent neural networks. Signal Processing, 1997*

## Dwukierunkowa sieć RNN

- informacja z przyszłości może zawierać istotną informację, np. dźwięki kolejnych fonemów (koartykulacja), znaczenie słów w zdaniu
- wyjścia sieci w dowolnym momencie zależą od całej sekwencji wejściowej, możliwe tylko uczenie *offline*
- zastosowanie: rozpoznawanie mowy (Graves, 2008, 2009), bioinformaryka (Baldi, 1999), rozpoznawanie pisma (Liwicki, Marcus, 2007)
- dla obrazów 2D możliwe zastosowanie sieci 4 kierunkowych, co pozwala modelować odległe relacje, jednak nie są one tak wydajne w tych zastosowaniach jak CNN

# Model Encoder-Decoder

Transformacja  $\mathbf{x}^{(1)}, \mathbf{x}^{(2)}, \dots, \mathbf{x}^{(n_x)} \Rightarrow \mathbf{y}^{(1)}, \mathbf{y}^{(2)}, \dots, \mathbf{y}^{(n_y)}$



Sutskever et al (2014). "Sequence to Sequence Learning with Neural Networks", NIPS.

K Cho et al (2014). "Learning Phrase Representations using RNN Encoder-Decoder for Statistical Machine Translation", EMNLP.

# Model Encoder-Decoder

seq2seq (Sutskever, 2014) to dwie sieci RNN uczone jednocześnie:

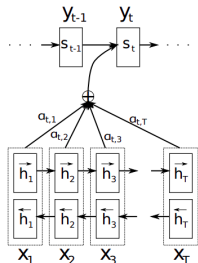
- **enkoder** (reader, input) przetwarza sekwencję wejściową generując kontekst  $C$
- **dekoder** (writer, output) zależnie od kontekstu  $C$  generuje sekwencję wyjściową
- wielkość kontekstu  $C$  może ograniczyć zdolność sieci do reprezentacji dalekich w czasie relacji
- dodanie uwagi (*attention model*, Bahdanan, 2015) - uwzględnienie w  $C$  więcej informacji z enkodera, które skalują wyjścia dekodera

# Model Encoder-Decoder z systemem uwagi

- **enkoder** dwukierunkowa sieć RNN, przetwarza całą sekwencję, generuje wektory stanów w kolejnych chwilach  $\mathbf{h}_i$
- kontekst uwagi  $\mathbf{c}$  jest średnią ważoną stanów, wagi  $a_i$  podlegają uczeniu i są unormowane

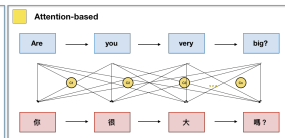
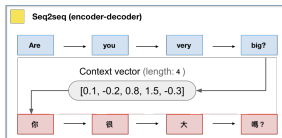
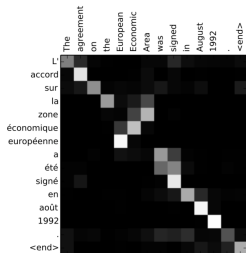
$$\mathbf{c} = \sum_{i=0}^T a_i \mathbf{h}_t \quad a_i = \frac{\exp e_i}{\sum_j \exp e_j}$$

- mechanizm uwagi waży wpływ kontekstu w wybranym momencie sekwencji wejściowej
- **dekoder** emuluje przeszukiwanie sekwencji wejściowej podczas transkrypcji, macierz uwagi  $A_t$  jest łączona ze stanem  $\mathbf{h}_{t-1}$



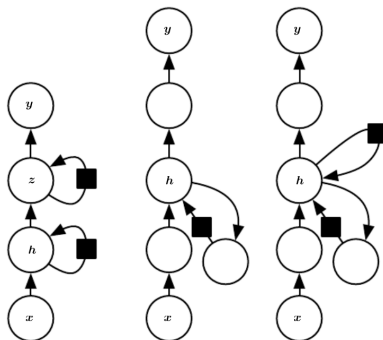
$$\mathbf{x}_t^{\text{decoder}} = \left[ \mathbf{h}_{t-1}^{\text{decoder}} ; A_t^{\text{decoder}} \right]$$

# seq2seq z mechanizmem uwagowym





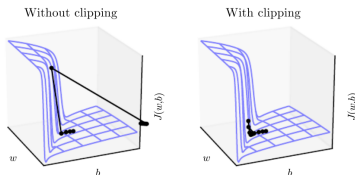
# Deep RNN



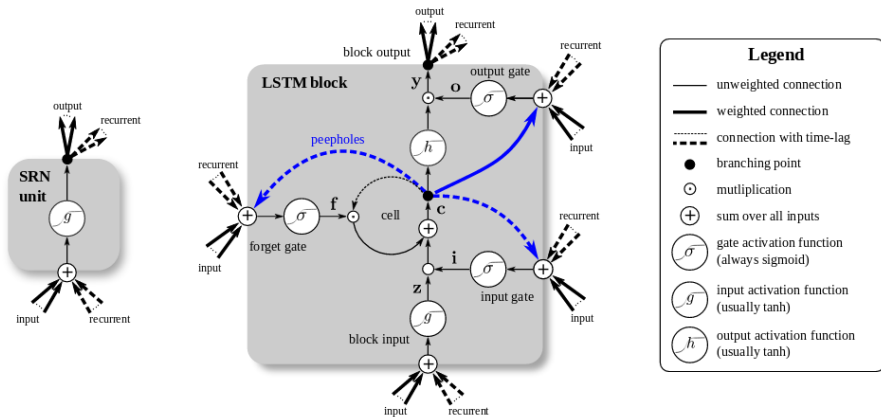
Wielowarstwowe RNN - kolejne warstwy tworzą hierarchię reprezentacji (Graves, 2013)

# Problemy uczenia głębokich sieci RNN

- znikający gradient dla odległych w czasie relacji (zanika wykładniczo z czasem), rozwiązaniem LSTM
- niestabilność uczenia - eksplodujący gradient, rozwiązanie: przycinanie gradientu i regularyzacja
- **gradient clipping** - ograniczenie wartości gradientu dla wszystkich wymiarów w mini-batchu, może zmienić kierunek spadku gradientu
- **norm clipping**: jeśli  $\|g\| > v$  to  $g \leftarrow \frac{g^v}{\|g\|}$



# Long Short-Term Memory



Sepp Hochreiter, Jürgen Schmidhuber, „Long short-term memory”, 1997

# LSTM

kandydat nowego stanu

$$\mathbf{z}^t = g(\mathbf{W}_z \mathbf{x}^t + \mathbf{R}_z \mathbf{y}^{t-1} + \mathbf{b}_z)$$

bramka wejściowa

$$\mathbf{i}^t = \sigma(\mathbf{W}_i \mathbf{x}^t + \mathbf{R}_i \mathbf{y}^{t-1} + \mathbf{b}_i)$$

bramka zapominania

$$\mathbf{f}^t = \sigma(\mathbf{W}_f \mathbf{x}^t + \mathbf{R}_f \mathbf{y}^{t-1} + \mathbf{b}_f)$$

stan wewnętrzny

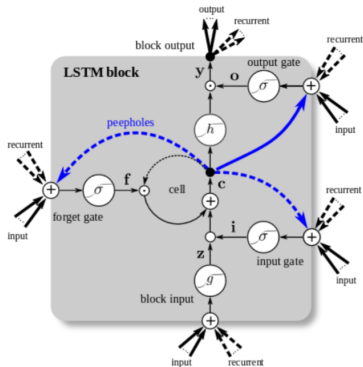
$$\mathbf{c}^t = \mathbf{i}^t \odot \mathbf{z}^t + \mathbf{f}^t \odot \mathbf{c}^{t-1}$$

bramka wyjściowa

$$\mathbf{o}^t = \sigma(\mathbf{W}_o \mathbf{x}^t + \mathbf{R}_o \mathbf{y}^{t-1} + \mathbf{b}_o)$$

sygnał wyjściowy

$$\mathbf{y}^t = \mathbf{o}^t \odot h(\mathbf{c}^t)$$



*Sepp Hochreiter, Jürgen Schmidhuber, „Long short-term memory”, 1997*

# LSTM

- LSTM niweluje wpływ zanikania gradientu, dzięki czemu pozwala mapować odległe w czasie relacje
- wprowadza dodatkową wewnętrzną jednostkę stanu  $\mathbf{c}$
- stan  $\mathbf{c}^t$  zależy w sposób liniowy od stanu poprzedniego  $\mathbf{c}^{t-1}$  (liniowa rekurencja), więc nawet przy bardzo długich rekurencjach gradient ma szansę nie zaniknąć (*long-term memory*)
- iloczyn Hadamanda  $\mathbf{x} \odot \sigma(\mathbf{y})$  (po współrzędnych), realizacja bramki wyłączającej/włączającej sygnał  $\mathbf{x}$
- bramki wejściowa, wyjściowa i bramka zapominania sterują zapamiętywanymi informacjami, zależą od sygnału wejściowego i stanu poprzedniego
- funkcja różniczkowalna - można uczyć metodami spadku gradientu i wsteczną propagacją

# LSTM

- bramka wejściowa ma wpływ na to jaki sygnał zostanie zapisany w jednostce stanu  $\mathbf{c}$
- bramka zapominania steruje wpływem poprzedniego stanu  $\mathbf{c}^{t-1}$  na obecny stan  $\mathbf{c}^t$
- bramka wejściowa i zapominania wpływają na to co umieszczane jest i co jest usuwane ze stanu
- bramka wyjściowa steruje ilością informacji przepływającą ze stanu wewnętrznego do wyjścia jednostki, pozwala np. zachować na później informacje, które w tym momencie nie są istotne

# Peephole LSTM

$$\mathbf{z}^t = \mathbf{g} \left( \mathbf{W}_z \mathbf{x}^t + \mathbf{R}_z \mathbf{y}^{t-1} + \mathbf{b}_z \right)$$

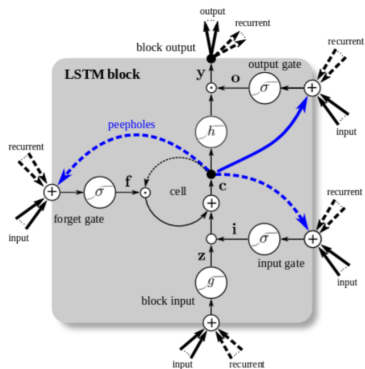
$$\mathbf{i}^t = \sigma \left( \mathbf{W}_i \mathbf{x}^t + \mathbf{R}_i \mathbf{y}^{t-1} + \mathbf{p}_i \odot \mathbf{c}^{t-1} + \mathbf{b}_i \right)$$

$$\mathbf{f}^t = \sigma \left( \mathbf{W}_f \mathbf{x}^t + \mathbf{R}_f \mathbf{y}^{t-1} + \mathbf{p}_f \odot \mathbf{c}^{t-1} + \mathbf{b}_f \right)$$

$$\mathbf{c}^t = \mathbf{i}^t \odot \mathbf{z}^t + \mathbf{f}^t \odot \mathbf{c}^{t-1}$$

$$\mathbf{o}^t = \sigma \left( \mathbf{W}_o \mathbf{x}^t + \mathbf{R}_o \mathbf{y}^{t-1} + \mathbf{p}_o \odot \mathbf{c}^t + \mathbf{b}_o \right)$$

$$\mathbf{y}^t = \mathbf{o}^t \odot \mathbf{h} \left( \mathbf{c}^t \right)$$

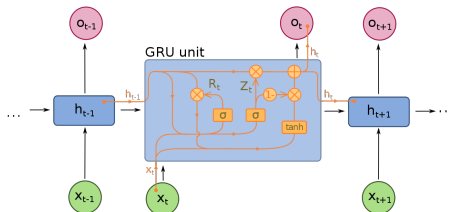


aktywacja bramek uzależniona dodatkowo od poprzedniego stanu  $\mathbf{c}^{t-1}$  poprzez połączenia „podglądające”  $\mathbf{p}_i$ ,  $\mathbf{p}_o$ ,  $\mathbf{p}_f$

*Sepp Hochreiter, Jürgen Schmidhuber, „Long short-term memory”, 1997*

# Gated Recurrent Unit

- GRU (Kyunghyun Cho et al., 2014) brak jednostki wewnętrznej  $c$  i bramki wyjściowej
- bramki: resetu  $r_t$  i aktualizacji  $z_t$
- mniej parametrów względem LSTM, porównywalna jakość wyników dla wielu problemów



Źródło: [https://en.wikipedia.org/wiki/Recurrent\\_neural\\_network](https://en.wikipedia.org/wiki/Recurrent_neural_network)



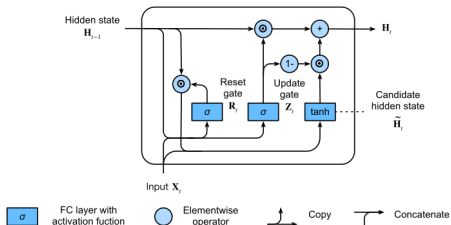
# Gated Recurrent Unit

$$\mathbf{z}^t = \sigma(\mathbf{W}_z \mathbf{x}^t + \mathbf{U}_z \mathbf{h}^{t-1} + \mathbf{b}_z)$$

$$\mathbf{r}^t = \sigma(\mathbf{W}_r \mathbf{x}^t + \mathbf{U}_r \mathbf{h}^{t-1} + \mathbf{b}_r)$$

$$\tilde{\mathbf{h}}^t = \tanh(\mathbf{W}_h \mathbf{x}^t + \mathbf{U}_h (\mathbf{r}^t \circ \mathbf{h}^{t-1}) + \mathbf{b}_h)$$

$$\mathbf{h}^t = (1 - \mathbf{z}^t) \circ \mathbf{h}^{t-1} + \mathbf{z}^t \circ \tilde{\mathbf{h}}^t$$

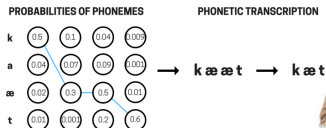


- stan proponowany  $\tilde{\mathbf{h}}^t$ , dla  $\mathbf{r}^t = 0$  sprowadza się do warstwy MLP
- bramka aktualizacji  $\mathbf{z}^t$  określa stopień wpływu poprzedniego stanu  $\mathbf{h}^{t-1}$  oraz obecnego stanu proponowanego  $\tilde{\mathbf{h}}^t$
- bramka resetu odpowiada za relacje krótkie w czasie a bramka aktualizacji - za długie

# Connectionist Temporal Classification

- CTC to metoda modelowania sekwencji oraz nazwa funkcji kosztu, znajduje zastosowanie, gdy sekwencja wejściowa  $\mathbf{x}_1, \dots, \mathbf{x}_T$  nie posiada dostępnego dopasowania ramek (*aligementu*) z sygnałem wyjściowym  $\mathbf{y}_1, \dots, \mathbf{y}_K$ . Długość sekwencji wejściowej  $T$  jest dłuższa od sekwencji wyjściowej ( $T > K$ ), np. transkrypcja tekstu na podstawie nagrań audio
- wyjście softmax uzupełnione o dodatkową etykietę 'blank'  
 $\mathcal{L}' = \mathcal{L} \cup \{blank\}$
- prawdopodobieństwo  $P(\mathbf{y}'|\mathbf{x})$  zaobserwowania sekwencji etykiet (ścieżki)  $\mathbf{y}'$  o długości  $T$

$$P(\mathbf{y}'|\mathbf{x}) = \prod_{t=1}^T P(y'_t|\mathbf{x})$$



# Connectionist Temporal Classification

CTC poszukuje sekwencji etykiet o największej wiarygodności  $P(\mathbf{y}|\mathbf{x})$  marginalizując po wszystkich możliwych ścieżkach  $\mathbf{y}'$  z blankiem

$$p(\mathbf{y}|\mathbf{x}) = \sum_{\mathbf{y}' \in \mathcal{M}^{-1}(\mathbf{y})} P(\mathbf{y}'|\mathbf{x})$$

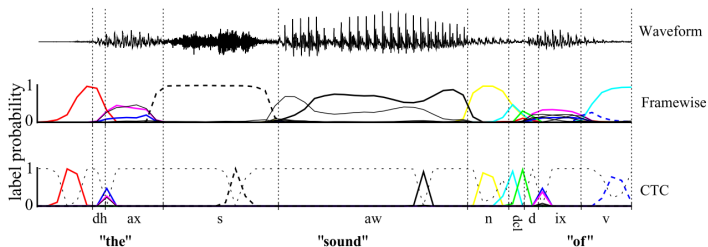
gdzie  $\mathcal{M}$  mapuje sekwencję etykiet o długości  $T$  do sekwencji krótszej poprzez usunięcie wszystkich blanków i powtarzających się etykiet, np.:  $\mathcal{M}(a - ab -) = \mathcal{M}(-aa - -abb) = aab$

Funkcja kosztu

$$L = - \sum \log p(\mathbf{y}|\mathbf{x})$$

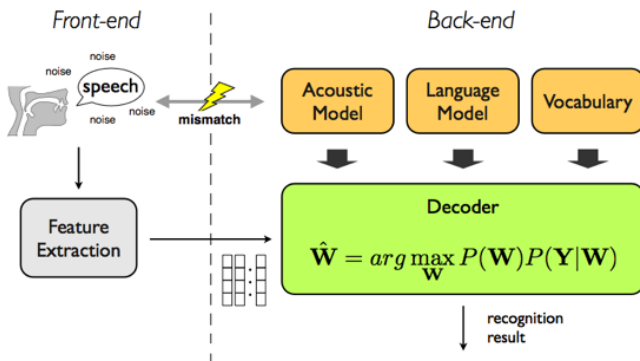


# Predykcja CTC



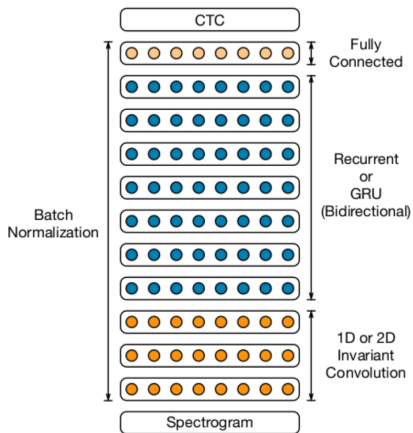
- trening z CTC generuje sekwencję pików etykiet (fonemów) przedzielonych etykietą 'blank'
- w treningu z alignmentem stosuje się funkcję kosztu CrossEntropy, przesunięcie granic fonemu względem poprawnego dopasowania powoduje błąd nawet gdy fonem jest poprawnie przewidziany
- wyjście CTC może być wykorzystane bezpośrednio (bez konieczności dalszego przetwarzania) do transkrypcji

# Automatyczne rozpoznawanie mowy



Źródło grafiki: <https://www.esat.kuleuven.be/psi/spraak/theses/08-09-en/MDT.php>

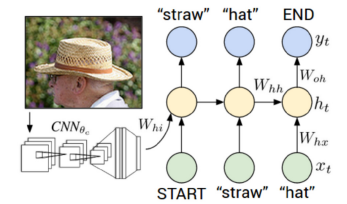
# Przykład: Deep Speech 2



Read Speech			
Test set	DS1	DS2	Human
WSJ eval'92	4.94	3.60	5.03
WSJ eval'93	6.94	4.98	8.08
LibriSpeech test-clean	7.89	5.33	5.83
LibriSpeech test-other	21.74	13.25	12.69

*Amodei, Dario, et al. "Deep speech 2: End-to-end speech recognition in english and mandarin."(2015).*

# Zastosowania: generator opisów zdjęć



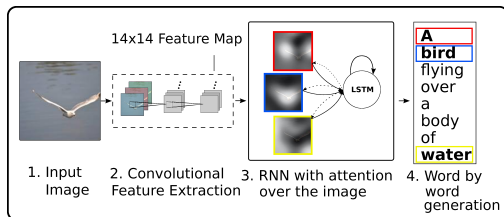
## Multimodal Recurrent Neural Network NeuralTalk2

Karpathy A., Fei-Fei L. „Deep Visual-Semantic Alignments for Generating Image Descriptions”, 2015



# Zastosowania: generator opisów zdjęć

Show, attend and tell (Xu et al., 2015)



↑ a living room with a couch and a television



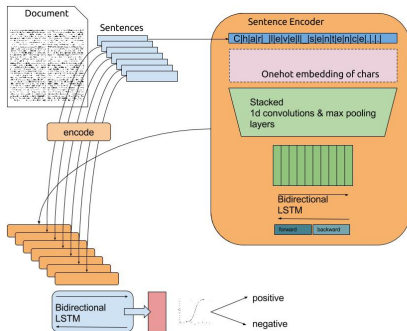
↑ a man riding a bike on a beach



a man is walking down the street with a suitcase ↗

Mechanizm uwagi pozwala skupić się na wybranych fragmentach obrazu podczas generowania opisu

# Zastosowania: analiza sentymentów



<https://offbit.github.io/how-to-read/>

# Zastosowania: odpowiedzi na pytania

